



# A.A. 2025-2026 ELEMENTI DI TERMOFLUIDODINAMICA PER LE MACCHINE

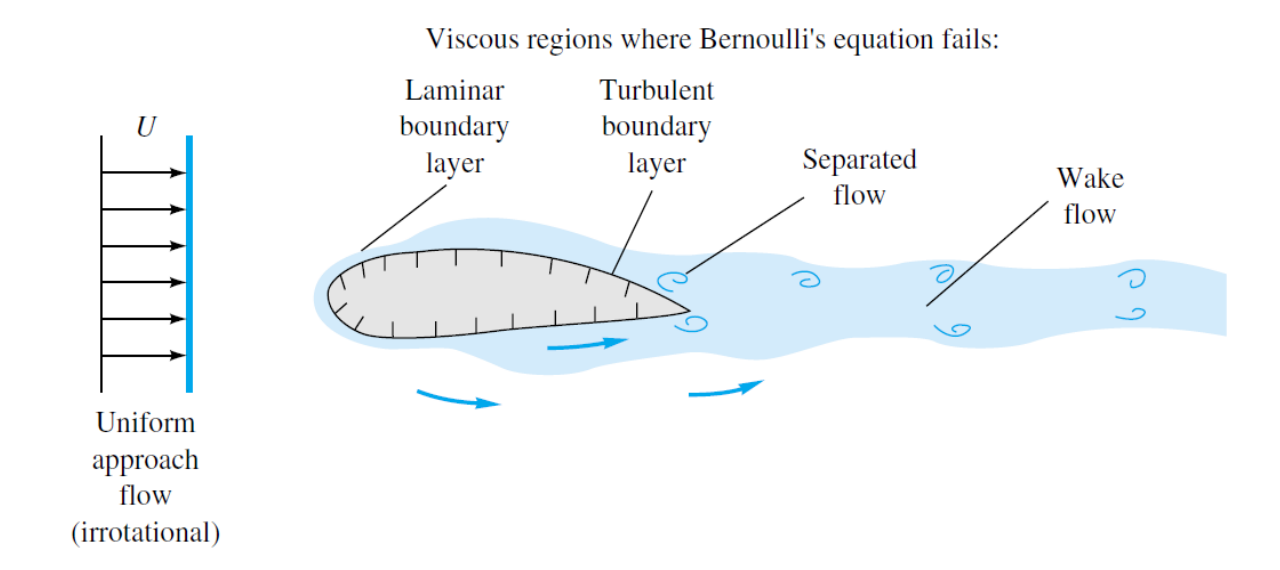
## Lucia Parussini

Dipartimento di Ingegneria e Architettura, Università degli Studi di Trieste Via Valerio 10 - 34127 Trieste - ITALY

E-mail: lparussini@units.it







Flusso subsonico attorno a un corpo con U<<a: flusso a potenziale non viscoso e irrotazionale al di fuori dello strato limite dove sono valide le equazioni di Bernoulli e Laplace.



Se 
$$\mathbf{\omega} = \frac{1}{2} \nabla \times \mathbf{u} = 0$$
 allora:  $\mathbf{u} = \nabla \phi$ 

$$\nabla \cdot \mathbf{u} = 0$$

$$\nabla \cdot (\nabla \phi) = 0$$

$$\Delta \phi = 0$$
 Equazione di LAPLACE

## $\phi$ FUNZIONE POTENZIALE

$$u = \frac{\partial \phi}{\partial x} \qquad v = \frac{\partial \phi}{\partial y}$$
$$\Delta \phi(x, y) = \frac{\partial^2 \phi}{\partial x^2} + \frac{\partial^2 \phi}{\partial y^2}$$

$$u_r = \frac{\partial \phi}{\partial r} \qquad u_\theta = \frac{1}{r} \frac{\partial \phi}{\partial \theta}$$
$$\Delta \phi(r, \theta) = \frac{1}{r} \frac{\partial}{\partial r} \left( r \frac{\partial \phi}{\partial r} \right) + \frac{1}{r^2} \frac{\partial^2 \phi}{\partial \theta^2}$$

$$u = \frac{\partial \phi}{\partial x} = \frac{\partial \psi}{\partial y}$$

$$\partial \phi \qquad \partial \psi$$

$$\frac{\partial}{\partial x} - \frac{\partial}{\partial y} = 0$$

$$\frac{\partial}{\partial x} \left( -\frac{\partial \psi}{\partial x} \right) - \frac{\partial}{\partial y} \left( \frac{\partial \psi}{\partial y} \right) = 0$$

$$\frac{\partial^2 \psi}{\partial x^2} + \frac{\partial^2 \psi}{\partial y^2} = 0$$

$$\nabla \times \mathbf{u} = 0$$

$$\begin{bmatrix}
u = \frac{\partial \phi}{\partial x} = \frac{\partial \psi}{\partial y} \\
v = \frac{\partial \phi}{\partial y} = -\frac{\partial \psi}{\partial x}
\end{bmatrix}$$

$$\frac{\partial}{\partial x} \left( -\frac{\partial \psi}{\partial x} \right) - \frac{\partial}{\partial y} \left( \frac{\partial \psi}{\partial y} \right) = 0$$

$$u_r = \frac{\partial \phi}{\partial r} = \frac{1}{r} \frac{\partial \psi}{\partial \theta}$$

$$u_\theta = \frac{1}{r} \frac{\partial \phi}{\partial \theta} = -\frac{\partial \psi}{\partial r}$$

$$\frac{\partial^2 \psi}{\partial x^2} + \frac{\partial^2 \psi}{\partial y^2} = 0$$

$$u_\theta = \frac{1}{r} \frac{\partial \phi}{\partial \theta} = -\frac{\partial \psi}{\partial r}$$

$$\frac{\partial^2 \psi}{\partial r} = 0$$

$$u_\theta = \frac{1}{r} \frac{\partial \phi}{\partial \theta} = -\frac{\partial \psi}{\partial r}$$

$$\Delta \psi = 0$$

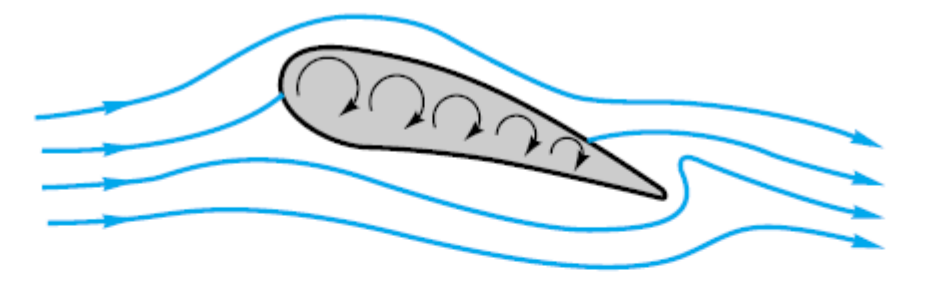
$$\psi$$
 FUNZIONE DI CORRENTE

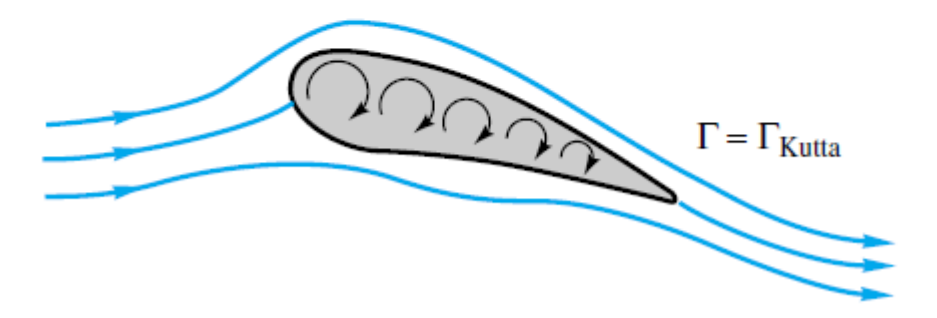




## Condizioni al contorno

- Condizione asintotica
- Condizione a parete
- Condizione di Kutta









Equazione di Bernoulli instazionaria

$$\rho \frac{D\mathbf{u}}{Dt} = \rho \mathbf{g} - \nabla p$$

$$\frac{D\mathbf{u}}{Dt} = \frac{\partial \mathbf{u}}{\partial t} + (\mathbf{u} \cdot \nabla) \mathbf{u} = \frac{\partial \mathbf{u}}{\partial t} + \frac{1}{2} \nabla (|\mathbf{u}|^2) - \mathbf{u} \times (\nabla \times \mathbf{u}) \qquad \nabla \times \mathbf{u} = 0$$

$$\rho \frac{\partial \mathbf{u}}{\partial t} + \rho \frac{1}{2} \nabla (|\mathbf{u}|^2) + \nabla p - \rho \mathbf{g} = 0 \qquad \mathbf{u} = \nabla \phi$$

$$\rho \frac{\partial (\nabla \phi)}{\partial t} + \rho \frac{1}{2} \nabla (|\nabla \phi|^2) + \nabla p - \rho \mathbf{g} = 0 \qquad \mathbf{g} = -g \hat{\mathbf{e}}_z \to \nabla (\rho \mathbf{g}z) = -\rho \mathbf{g}$$

$$\nabla \left[ \rho \frac{\partial \phi}{\partial t} + \rho \frac{1}{2} |\nabla \phi|^2 + p + \rho \mathbf{g}z \right] = 0$$

$$\rho \frac{\partial \phi}{\partial t} + \rho \frac{1}{2} |\nabla \phi|^2 + p + \rho \mathbf{g} z = \cos t.$$





## Paradosso di D'Alambert

Consiste nell'osservare che in un fluido sotto le ipotesi di modello a potenziale, che implicano che il flusso sia irrotazionale (quindi a vorticità nulla), non possono svilupparsi forze aerodinamiche poiché esse si ricavano proprio per integrazione della vorticità.



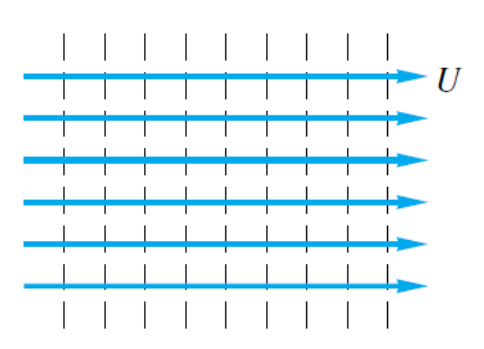


### SOLUZIONI BIDIMENSIONALI

#### Corrente uniforme

$$\phi = Ux$$

$$\psi = Uy$$



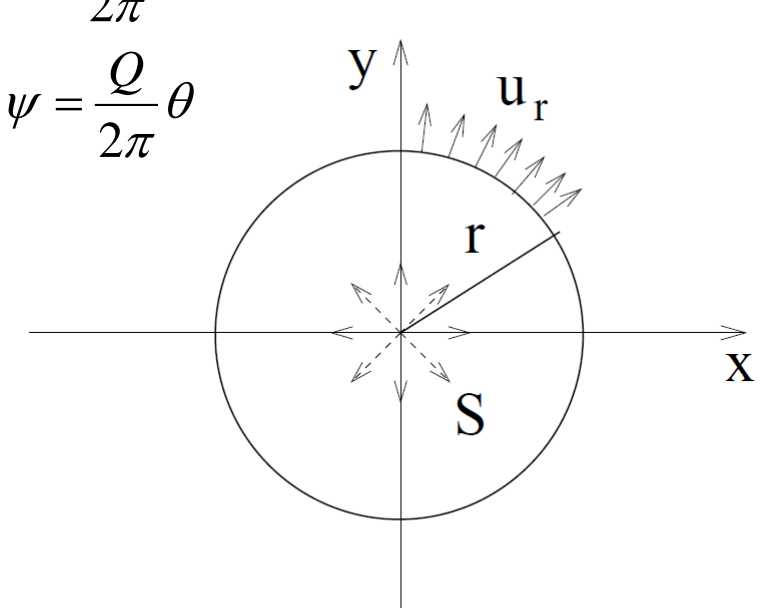


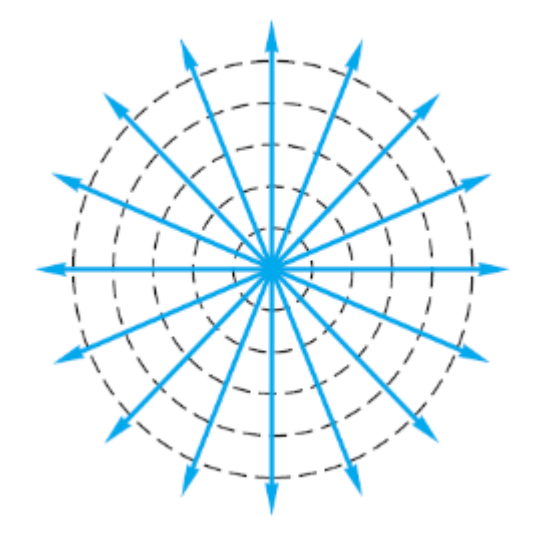


## SOLUZIONI BIDIMENSIONALI

## Sorgente

$$\phi = \frac{Q}{2\pi} \ln r$$









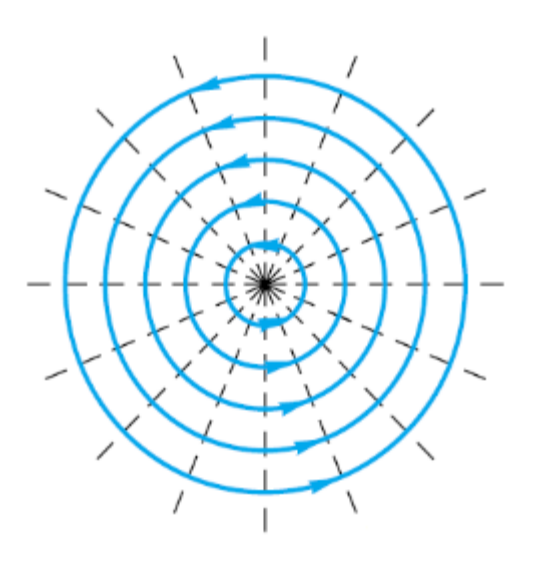
### SOLUZIONI BIDIMENSIONALI

Singolarità di vortice libero

$$\phi = \frac{\Gamma}{2\pi} \theta$$

$$\psi = -\frac{\Gamma}{2\pi} \ln r \quad \omega$$

$$r \quad u_{\theta}$$



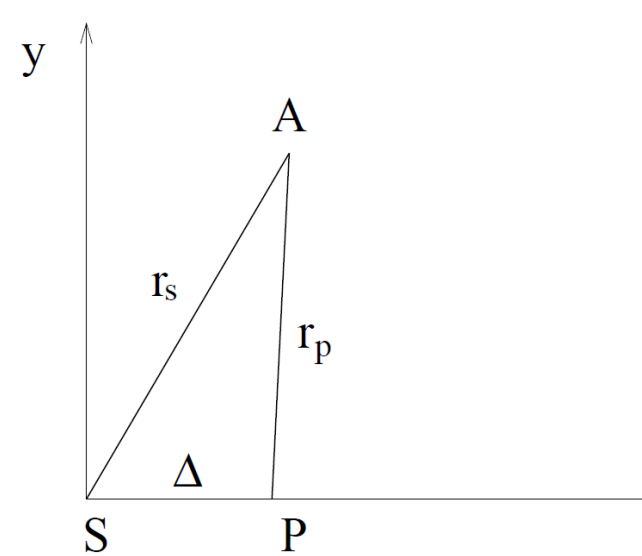


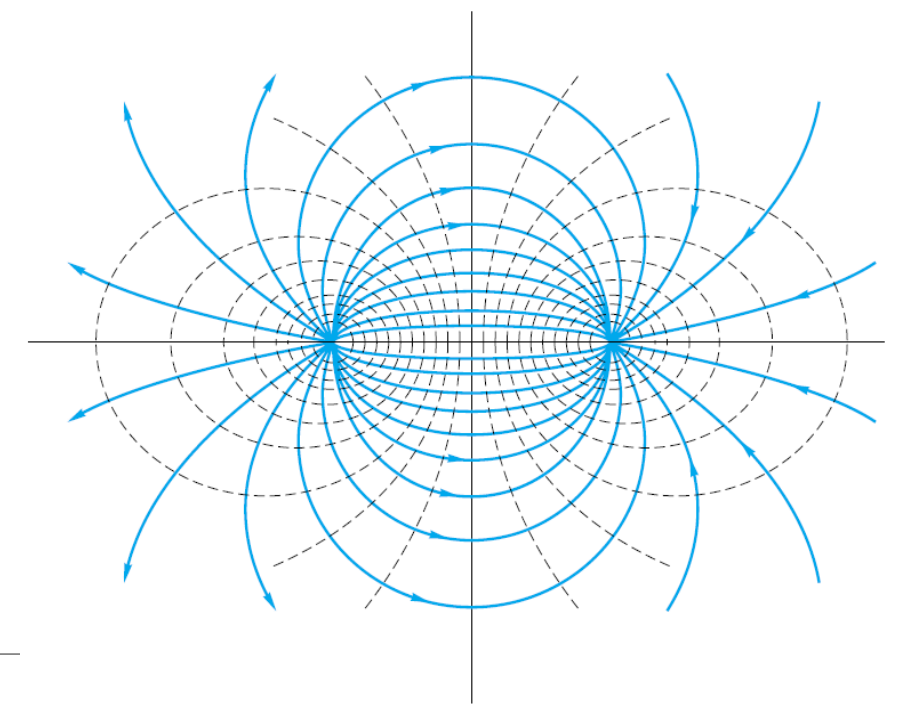


## SOLUZIONI BIDIMENSIONALI

Dipolo

$$\phi = \frac{Q}{2\pi} \ln \frac{r_s}{r_p}$$



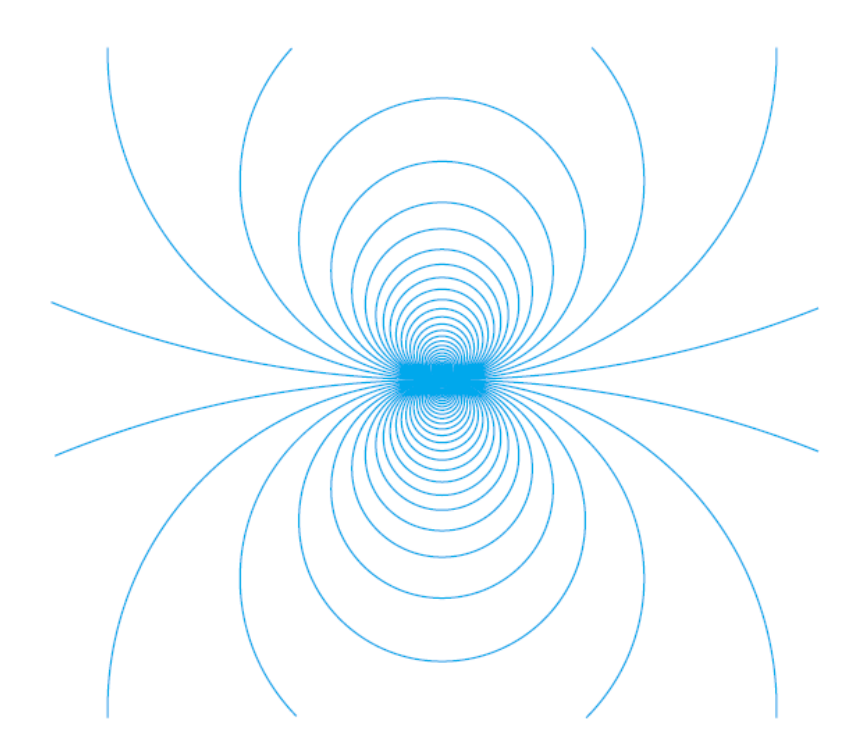






## SOLUZIONI BIDIMENSIONALI

$$\phi = \frac{kx}{r^2}$$



Linee solide: linee di corrente.

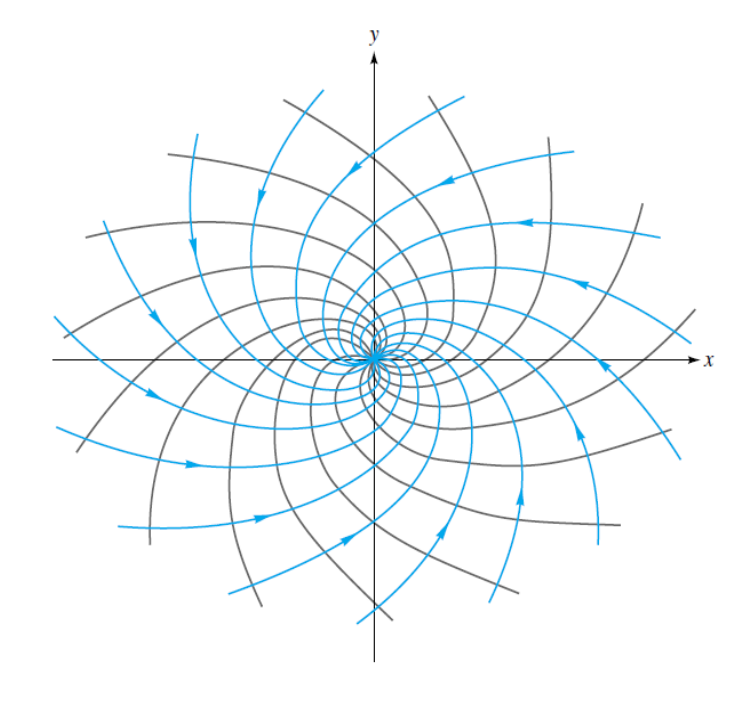




#### SOLUZIONI BIDIMENSIONALI

Pozzo + vortice 
$$\phi = -\frac{Q}{2\pi} \ln r + \frac{\Gamma}{2\pi} \theta$$

Linee di corrente e linee equipotenziale formano due famiglie ortogonali di spirali logaritmiche. Questa è una simulazione piuttosto realistica di un tornado (dove il flusso del pozzo va nella direzione positiva dell'asse z verso l'atmosfera) o un vortice allo scarico della vasca da bagno. Al centro di un vortice reale (viscoso), dove l'equazione predice una velocità infinita, il flusso che circola in realtà è altamente rotazionale e approssima una rotazione solida con velocità finita.





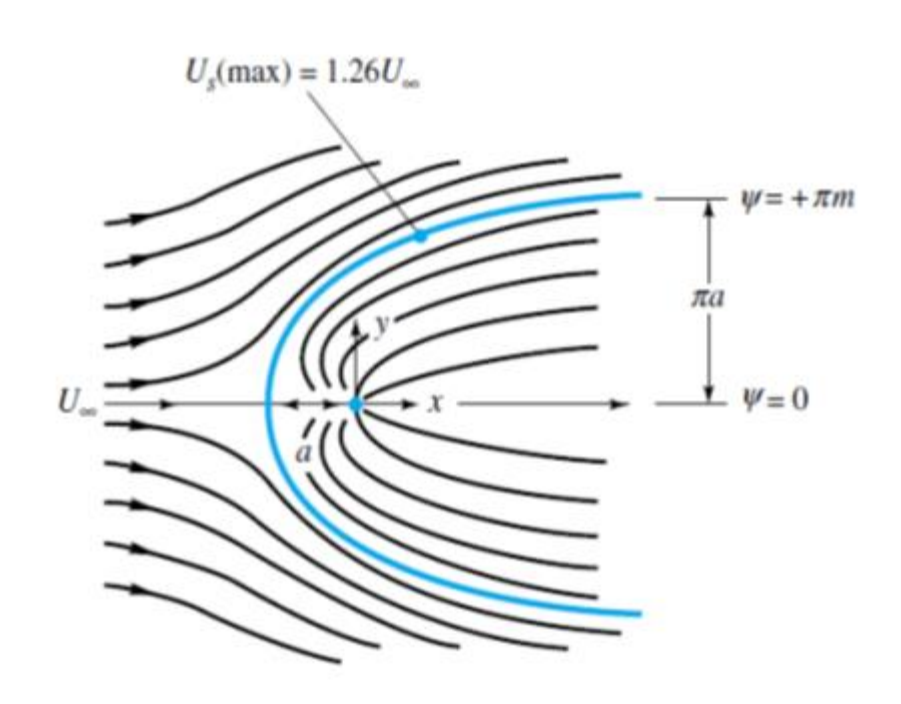


#### SOLUZIONI BIDIMENSIONALI

## Semicorpo di Rankine

$$\phi = Ur\cos\theta + m\ln r$$
$$\psi = Ur\sin\theta + m\theta$$

$$r = \frac{m(\pi - \theta)}{U \sin \theta}$$
 ,  $0 < \theta < 2\pi$ 

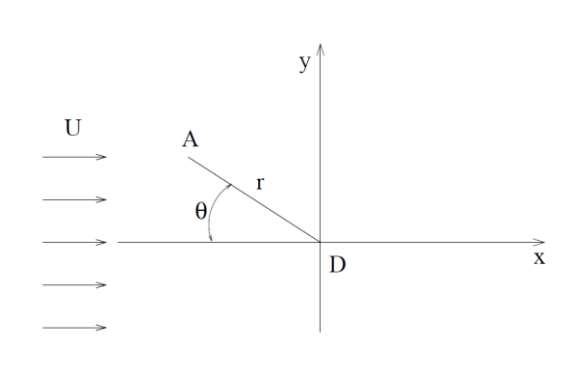


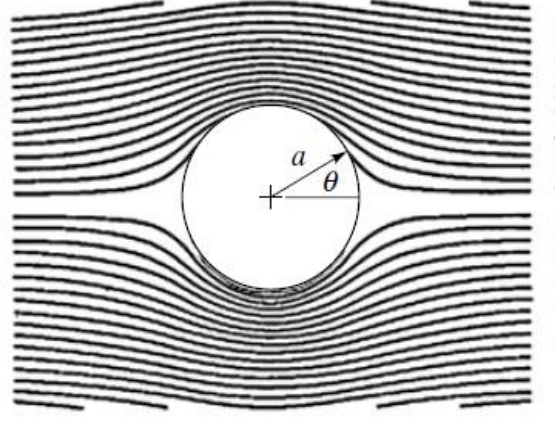
Se valutiamo la velocità lungo la superficie superiore del corpo troviamo un valore massimo a  $\theta$ =63° dove per il teorema di Bernoulli la pressione è minima. Dopo questo punto il flusso decelera e la pressione aumenta. In un flusso reale lo strato limite si inspessisce e può separare.

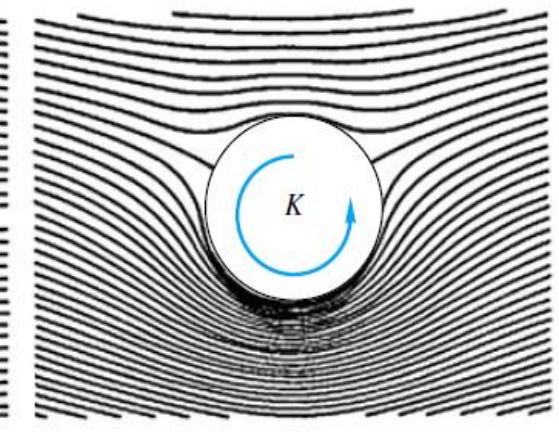


#### SOLUZIONI BIDIMENSIONALI

Flusso attorno a un cilindro



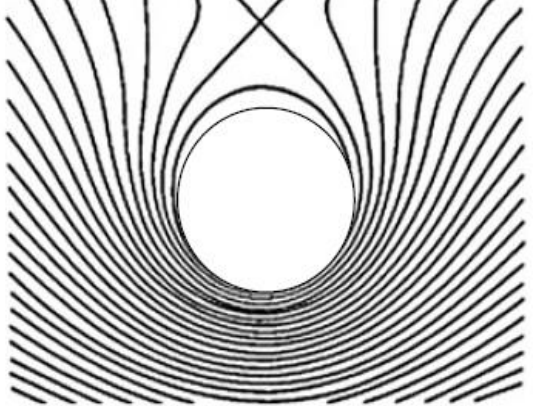




$$\phi = -\left(Ur + \frac{k}{r}\right)\cos\theta$$

$$\phi = -\left(Ur + \frac{k}{r}\right)\cos\theta + \frac{\Gamma}{2\pi}\theta$$









#### SOLUZIONI BIDIMENSIONALI

Flusso attorno a un cilindro

Il risultato trovato sulla forza è un caso particolare del <u>teorema di Kutta-Joukowsky</u> che dà come espressione della forza  $\mathbf{F} = \rho \mathbf{U} \mathbf{x} \mathbf{\Gamma}$  in cui  $\mathbf{\Gamma}$  è un vettore che ha la circolazione come intensità e la stessa direzione e verso della vorticità associata.

Il risultato più importante di questo teorema è che non è possibile generare una forza (di pressione) su un corpo se non si ha una circolazione netta.

A questo punto appare chiaro l'effetto del vortice libero che generando una circolazione nel cilindro è in grado di produrre una forza, altrimenti impossibile nell'ambito della teoria potenziale.

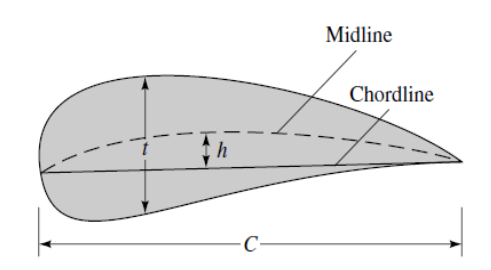
La generazione della forza indotta dalla rotazione di un cilindro investito da una corrente è anche nota come effetto Magnus che ha notevoli implicazioni nella balistica (moto di proiettili e missili in rapida rotazione, lanci e tiri «ad effetto» nello sport, etc.).





#### SOLUZIONI BIDIMENSIONALI

Flusso attorno a un profilo alare



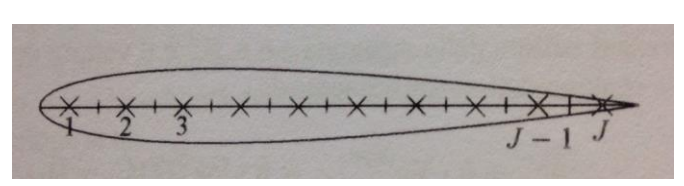
Il potenziale attorno a un profilo simmetrico posto a incidenza nulla può essere visto come la somma del potenziale della corrente uniforme indisturbata e dei potenziali di un'opportuna distribuzione di *J* doppiette poste all'interno del corpo:

$$\phi(\mathbf{r}) = \phi^{unif}(\mathbf{r}) + \sum_{j=1}^{J} k_j \phi_j^{dopp}$$

$$\phi_j^{dopp} = \phi(\mathbf{r} - \mathbf{d}_j)$$

$$\phi(\mathbf{r} - \mathbf{d}_j) = \frac{x - d_j}{(x - d_j)^2 + y^2}$$

$$\phi^{unif}(\mathbf{r}) = Ux$$



$$\phi(x,y) = Ux + \sum_{j=1}^{J} k_j \frac{x - d_j}{(x - d_j)^2 + y^2}$$

$$\nabla \phi \big|_{C_i} \cdot \hat{\mathbf{n}} = 0 \quad j = 1, \dots J$$





https://potentialflow.com/